

徳島大学工学部 正員・山上拓男  
徳島大学工学部 正員 小田英一

## 1. まえがき

近時、浸透流解析にFEMが広く応用されるにしたがって、その非定常問題への適用例もいくつか発表されて<sup>1,2,3,4,5)</sup>いる。本文はこれら既往の研究成果のうち、4節点一次iso-parametric要素を用いたDesaiの解法に注目し、時々刻々変動する自由水面追跡にspline functionを導入して、彼の解法を改良せんとしたものである。そして貯水池水位が徐々に低下する場合(gradual drawdown condition)の一解析例を通じて本解析法の問題点を明らかにするものである。さらに、筆者らによる定常浸透流下の法面の安定解析法を拡張し、堤体内部が非定常水位変動を受ける際の安定解析へと発展させることを最終目的とする。

## 2. 非定常解析

貯水位低下に伴う堤体内の水位変動の追跡は、解析領域自体が逐時変動するため、定常流れに比べて相当にやっかいな問題となる。しかも外水位の低下が所定の位置まで急激に下降すると考える、いわゆる sudden drawdown conditionに比べ、gradual drawdown conditionの場合は一段と工夫を要する。

さて、この種の自由水面を有する非定常流れにおいては、貯留係数(圧縮性)に起因する内部の非定常性は無視し得るものとし、自由水面変動は単に外部境界条件の変動下において、微小なtime step  $\Delta t$ 間の定常流れの連続で追跡できるとするのが一般的である。いま、Fig.-1において、

任意時刻 $t$ での自由水面 $E-E$ に面した代表的な要素を $(m-1), (m), (m+1)$ とする。iso-parametric要素では各要素内の流速は一定とはならないので簡単に自由水面上の流速を定め得る。そこで、時刻 $t$ での与えられた境界条件のもとに、定常流れのFEM解析を行い、そのときのポテンシャル分布から自由水面上の各節点でのDarcy則による合速度( $v_i$ )を定める。これより、自由水面上の分子子の間ゲキを流れる真の合速度( $v_{si}$ )を次式で定め

$$v_{si} = v_i / \beta \quad \text{ここに } \beta: \text{有効空ゲキ率} \quad (1)$$

さらに、この値にtime step  $\Delta t$ を乗じた値を $v_i$  ( $v_i = \Delta t \cdot v_{si}$ )で表示し、微小時間  $\Delta t$  後、すなわち時刻 $t + \Delta t$ での新しい自由水面は $v_i$ の先端を連ねたもので与えられると考える。(Fig.-2参照)。この場合、自由水面の修正は、あらかじめ規定された直線(nodal line)に沿って行なわれるものとする。なお、要素の特性として、相隣る二要素間のポテンシャルの連続性は保証されるが、それらの導関数は不連続となるので、例えはFig.-1において、 $(m-1)$ 要素から求めた節点 $i$ の流速と、 $(m)$ 要素による節点 $i$ での流速は、一般に異なった値となる。したがって節点 $i$ での流速としては、両者を平均したものを使っている。

さて、新しい自由水面の決定は次のようである。Fig.-2の任意節点 $(i)$ の合速度 $v_i$ の先端 $P_i$ を通り、 $i$ 点で自由水面に引いた接線に平行な直線がnodal lineと交わる点 $i'$ を求め、この点を新たな自由水面上の節点とする。ここで問題となるのは $(i)$ 点での接線をいかに精度よく求めるかである。このため筆者は自由水面をspline function<sup>7,8)</sup>で近似することを試みた。このspline functionは与えられた節点を通り、1次および2

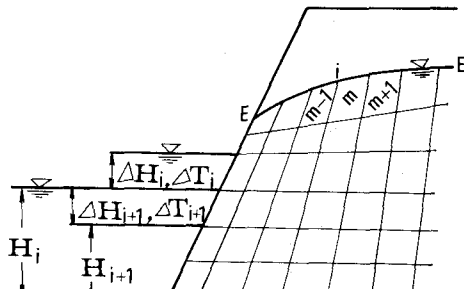


Fig.-1

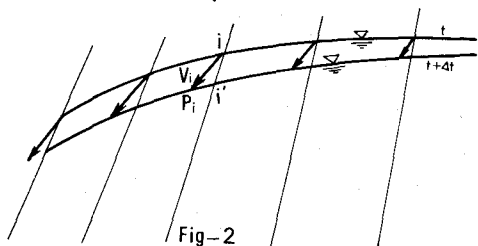


Fig.-2

次の導関数が連続するように節点間を3次の曲線で近似したものである。いま、Fig.-3において、自由水面上の節点を $0, 1, 2, \dots, i, \dots, n, n+1$ の計 $(n+2)$ 個の点で構成されているものとすれば、両端での2次の導関数を $y''_0 = y''_{n+1} = 0$ と仮定して、節点 $1 \sim n$ での2次の導関数は次の連立方程式を解くことによって求められる。

$$\begin{matrix} 2(\Delta x_i + \Delta x_{i+1}) & \Delta x_2 & 0 & 0 & 0 & 0 \\ \Delta x_2 & 2(\Delta x_2 + \Delta x_3) & \Delta x_3 & 0 & 0 & 0 \\ 0 & 0 & \Delta x_i & 2(\Delta x_i + \Delta x_{i+1}) & \Delta x_{i+1} & 0 \\ 0 & 0 & 0 & 0 & \Delta x_n & 2(\Delta x_n + \Delta x_{n+1}) \\ 0 & 0 & 0 & 0 & 0 & 0 \end{matrix} \left\{ \begin{array}{l} y''_1 \\ y''_2 \\ \vdots \\ y''_i \\ \vdots \\ y''_n \end{array} \right\} = \left\{ \begin{array}{l} 6\left(\frac{\Delta x_2}{\Delta x_2 + \Delta x_3}\right) \\ 6\left(\frac{\Delta x_3}{\Delta x_2 + \Delta x_3}\right) \\ \vdots \\ 6\left(\frac{\Delta x_i}{\Delta x_i + \Delta x_{i+1}}\right) \\ \vdots \\ 6\left(\frac{\Delta x_{n+1}}{\Delta x_n + \Delta x_{n+1}}\right) \end{array} \right\} \quad (2)$$

これより、各節点の左右から求めた接線の勾配は

$$y'_i(L) = \Delta y_i / \Delta x_i + \Delta x_i (y''_{i-1} + 2y''_i) / 6 \quad (3)$$

$$y'_i(R) = \Delta y_{i+1} / \Delta x_{i+1} - \Delta x_{i+1} (2y''_i + y''_{i+1}) / 6 \quad (4)$$

となる。この式(3),(4)のいずれかを用いて、先の自由水面の接線の勾配を求めるのである。

ところで、gradual drawdown condition としての貯水池水位の低下速度は、揚水発電を目的とするオルダムなどの比較的大きな値でも、毎時 $1 \sim 2^m$ 程度といわれている。この低下速度を解析過程に導入すべく、

ここで用いている方法は、ある適当な時間間隔 $\Delta T_i$ 間に外水位が $\Delta H_i$ だけ急降下するものとし、そのときの外水位 $H_i$ が $\Delta T_i$ 間持続するものと考え、さらにこの $\Delta T_i$ を微小な $n$ 個のtime step $\Delta t_j$ に分割する( $\Delta T_i = n \cdot \Delta t_j$ )。そして自由水面の追跡は、各 $\Delta t_j$ ごとに行い、外水位の修正は $\Delta T_i$ ごとに行うといった手法をとっている。

### 3. 解析例および結語

Fig.-4に法面勾配 $1:05$ 、透水係数 $k = 0.005 \text{ cm/sec}$ 、有効空隙率 $\beta = 0.3$ のもとで、初期水平水位 $H = 72^m$ より出発して、外水位低下速度が $2^m/\text{h}$ なる場合の自由水面の変動状況を示す。なお、外水位の最終値は $H = 42^m$ としている。このときの $\Delta T_i$ は2時間、 $\Delta t_j$ は10分、 $\Delta H_i$ は $4^m$ である。図中の自由水面は、外水位に記された経過時間に対応するものである。

この結果によれば、core 近傍に比べて法面付近での自由水面の低下が著しいことがわかる。これが妥当なものであるか否かは以下のところ実験値と比較していないので結論は出せないが、現在、流量に基いた解法を開発中であるので、それらの結果をみた上でさらに検討したいと考えている。

### [参考文献]

- 1). France, P.W.ほか3名, IR1, pp.165~179, 1971.
- 2) Neuman, S.P.ほか1名, Water Resources Research, Vol.7, No.3 pp.611~623, 1971.
- 3) 飯田ほか1名, 土木研究所報告, 1971.
- 4) Desai, C.S., SM11, pp.1143~1162, 1972.
- 5) 河野, 土と基礎, Vol.21, No.8, 1973,
- 6) 山上ほか1名, 土質工学会講演集, 1974.
- 7) Desai, C.S. SM10, pp.1461~1480, 1971.
- 8) 川本ほか2名, 土木学会論文報告集, 218号, 1973,
- 9) 本島, 土と基礎, Vol.21, No.8, 1973

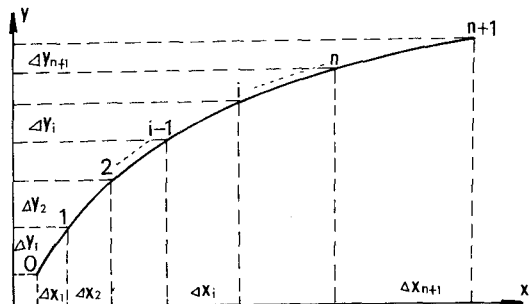


Fig.-3

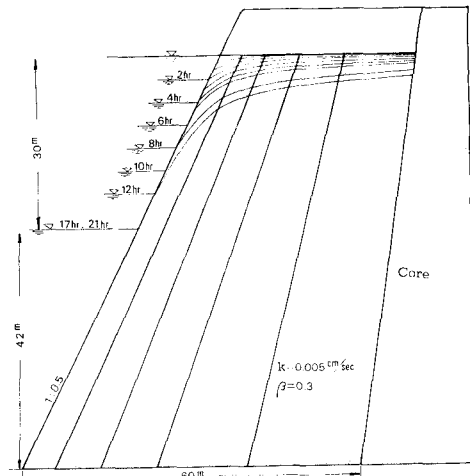


Fig.-4